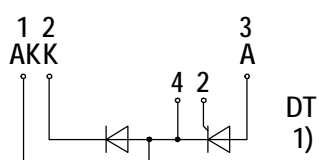
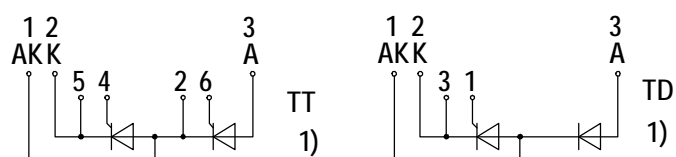
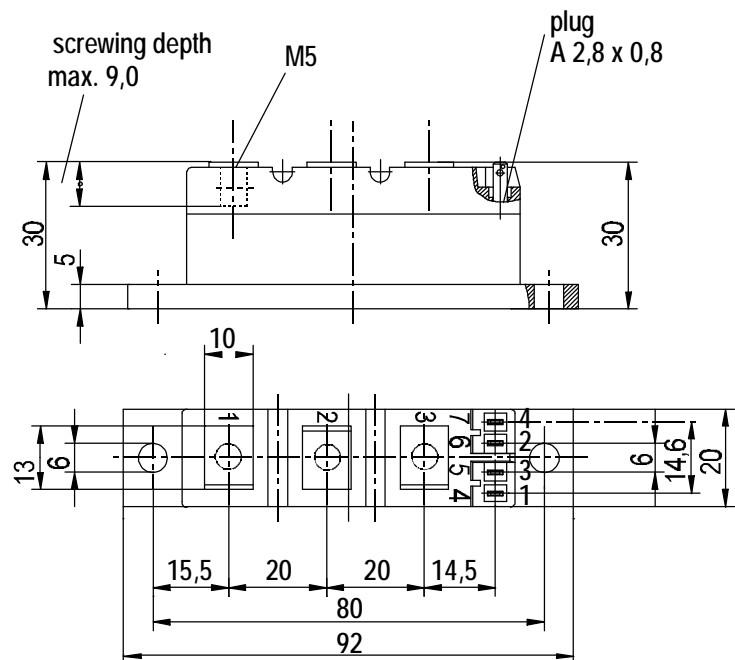


European Power-
Semiconductor and
Electronics Company

Marketing Information TT 61 N



Technische Information / Technical Information

Netz-Thyristor-Modul
Phase Control Thyristor
Module

TT 61 N 12...16

N 

Elektrische Eigenschaften / Electrical properties

Höchstzulässige Werte / Maximum rated values

Periodische Vorwärts- und Rückwärts-Spitzenperrspannungen repetitive peak forward and reverse voltages	$T_{vj} = -40^\circ\text{C} \dots T_{vj\max}$	V_{DRM}, V_{RRM}	1200, 1400 1600	V V
Vorwärts-Stoßspitzenperrspannung non-repetitive peak forward off-state voltage	$T_{vj} = -40^\circ\text{C} \dots T_{vj\max}$	V_{DSM}	1200, 1400 1600	V V
Rückwärts-Stoßspitzenperrspannung non-repetitive peak reverse voltage	$T_{vj} = +25^\circ\text{C} \dots T_{vj\max}$	V_{RSM}	1300, 1500 1700	V V
Durchlaßstrom-Grenzeffektivwert RMS on-state current		I_{TRMSM}	120	A
Dauergrenzstrom average on-state current	$T_C = 85^\circ\text{C}$ $T_C = 76^\circ\text{C}$	I_{TAVM}	60 76	A A
Stoßstrom-Grenzwert surge current	$T_{vj} = 25^\circ\text{C}, t_p = 10\text{ms}$ $T_{vj} = T_{vj\max}, t_p = 10\text{ms}$	I_{TSM}	1550 1400	A A
Grenzlastintegral I^2t -value	$T_{vj} = 25^\circ\text{C}, t_p = 10\text{ms}$ $T_{vj} = T_{vj\max}, t_p = 10\text{ms}$	I^2t	12000 9800	A^2s A^2s
Kritische Stromsteilheit critical rate of rise of on-state current	DIN IEC 747-6 $f = 50\text{Hz}, i_{GM} = 0,6\text{A}, di_G/dt = 0,6\text{A}/\mu\text{s}$	$(di_T/dt)_{cr}$	150	$\text{A}/\mu\text{s}$
Kritische Spannungssteilheit critical rate of rise of off-state voltage	$T_{vj} = T_{vj\max}, V_D = 0,67 V_{DRM}$ 6. Kennbuchstabe / 6th letter F	$(dv_D/dt)_{cr}$	1000	$\text{V}/\mu\text{s}$

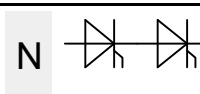
Charakteristische Werte / Characteristic values

Durchlaßspannung on-state voltage	$T_{vj} = T_{vj\max}, i_T = 300\text{A}$	V_T	max.	1,9	V
Schleusenspannung threshold voltage	$T_{vj} = T_{vj\max}$	$V_{(TO)}$		0,8	V
Ersatzwiderstand slope resistance	$T_{vj} = T_{vj\max}$	r_T		3,4	$\text{m}\Omega$
Zündstrom gate trigger current	$T_{vj} = 25^\circ\text{C}, V_D = 6\text{V}$	I_{GT}	max.	120	mA
Zündspannung gate trigger voltage	$T_{vj} = 25^\circ\text{C}, V_D = 6\text{V}$	V_{GT}	max.	1,4	V
Nicht zündender Steuerstrom gate non-trigger current	$T_{vj} = T_{vj\max}, V_D = 6\text{V}$ $T_{vj} = T_{vj\max}, V_D = 0,5 V_{DRM}$	I_{GD}	max. max.	5,0 2,5	mA mA
Nicht zündende Steuerspannung gate non-trigger voltage	$T_{vj} = T_{vj\max}, V_D = 0,5 V_{DRM}$	V_{GD}	max.	0,2	V
Haltestrom holding current	$T_{vj} = 25^\circ\text{C}, V_D = 6\text{V}, R_A = 5\Omega$	I_H	max.	200	mA
Einraststrom latching current	$T_{vj} = 25^\circ\text{C}, V_D = 6\text{V}, R_{GK} \geq 10\Omega$ $i_{GM} = 0,6\text{A}, di_G/dt = 0,6\text{A}/\mu\text{s}, t_G = 20\mu\text{s}$	I_L	max.	620	mA
Vorwärts- und Rückwärts-Sperrstrom forward off-state and reverse currents	$T_{vj} = T_{vj\max}$ $V_D = V_{DRM}, V_R = V_{RRM}$	I_D, I_R	max.	20	mA
Zündverzug gate controlled delay time	DIN IEC 747-6 $T_{vj} = 25^\circ\text{C}, i_{GM} = 0,6\text{A}, di_G/dt = 0,6\text{A}/\mu\text{s}$	t_{ad}	max.	3	μs

Technische Information / Technical Information

Netz-Thyristor-Modul
Phase Control Thyristor
Module

TT 61 N 12...16



Elektrische Eigenschaften / Electrical properties

Charakteristische Werte / Characteristic values

Freiwerdezeit circuit commutated turn-off time	$T_{vj} = T_{vj\max}, i_{TM} = 400A$ $V_{RM} = 100V, V_{DM} = 0,67 V_{DRM}$ $dv_D/dt = 20V/\mu s, -di_T/dt = 10A/\mu s$ 5. Kennbuchstabe / 5th letter O	t_q	typ.	120	μs
Isolations-Prüfspannung insulation test voltage	RMS, f = 50Hz, t = 1min RMS, f = 50Hz, t = 1sec	V_{ISOL}		2,5 3,0	kV kV

Thermische Eigenschaften / Thermal properties

Innerer Wärmewiderstand thermal resistance, junction to case	pro Modul / per module, $\Theta = 180^\circ C/W$ pro Zweig / per arm, $\Theta = 180^\circ \sin$ pro Modul / per module, DC pro Zweig / per arm, DC	R_{thJC}	max. max. max. max.	0,26 0,52 0,25 0,50	$^\circ C/W$ $^\circ C/W$ $^\circ C/W$ $^\circ C/W$
Übergangs-Wärmewiderstand thermal resistance, case to heatsink	pro Modul / per module pro Zweig / per arm	R_{thCK}	max. max.	0,08 0,16	$^\circ C/W$ $^\circ C/W$
Höchstzulässige Sperrschiitttemperatur max. junction temperature		$T_{vj\max}$		125	$^\circ C$
Betriebstemperatur operating temperature		T_{cop}		- 40...+125	$^\circ C$
Lagertemperatur storage temperature		T_{sta}		- 40...+130	$^\circ C$

Mechanische Eigenschaften / Mechanical properties

Gehäuse, siehe Anlage case, see appendix			Seite 3 page 3	
Si-Elemente mit Druckkontakt Si-pellets with pressure contact				
Innere Isolation internal insulation			AIN	
Anzugsdrehmoment für mechanische Befestigung mounting torque	Toleranz / tolerance $\pm 15\%$	M1	4	Nm
Anzugsdrehmoment für elektrische Anschlüsse terminal connection torque	Toleranz / tolerance +5% / -10%	M2	4	Nm
Gewicht weight		G	typ.	160 g
Kriechstrecke creepage distance				12,5 mm
Schwingfestigkeit vibration resistance	f = 50Hz			50 m/s ²

Kühlkörper / heatsinks : KM11; KM14; KM17; KM33

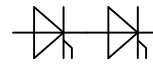
Mit dieser technischen Information werden Halbleiterbauelemente spezifiziert, jedoch keine Eigenschaften zugesichert. Sie gilt in Verbindung mit den zugehörigen Technischen Erläuterungen. / This technical information specifies semiconductor devices but promises no characteristics. It is valid in combination with the belonging technical notes.

Technische Information / Technical Information

Netz-Thyristor-Modul
Phase Control Thyristor
Module

TT 61 N 12...16

N



Analytische Elemente des transienten Wärmewiderstandes Z_{thJC} für DC

Analytical elements of transient thermal impedance Z_{thJC} for DC

Pos. n	1	2	3	4	5	6	7
$R_{thn} [\text{°C} / \text{W}]$	0,0218	0,0426	0,1886	0,2470			
$\tau_n [\text{s}]$	0,000945	0,0100	0,3100	1,7620			

Analytische Funktion: $Z_{thJC} = \sum_{n=1}^{n_{\max}} R_{thn} \left(1 - e^{-\frac{t}{\tau_n}} \right)$